Untersuchungen von Diiodogermylen und Triphenylphosphindiiodogermylen und die Kristallstruktur von Triphenylphosphindiiodogermylen

Yoshio Inoguchi, Shuko Okui, Kunio Mochida,* und Akiko Itai†
Chemisches Departement, Naturwissenshaftliche Fakultät, Gakushuin Universität,
1-5-1 Mejiro, Toshima-ku, Tokyo 171
†Pharmazeutische Fakultät, Tokyo Universität, 7-3-1 Hongo, Bunkyo-ku, Tokyo 113
(Eigegangen am August 2, 1984)

Reaktivitäten und chemische Eigenschaften von Diiodogermylen und Triphenylphosphindiiodogermylen wurden durch ihre Reaktionen mit Organolithium-Verbindungen oder Butadienen untersucht. Die Kristallstruktur von Triphenylphosphindiiodogermylen wurde röntgenographisch aufgeklärt.

Diorganogermylene, GeR₂, sind für metallorganische Synthesen als Carbenanaloge ebenso wie die homologen Silylene und Stannylene von groβem Interesse; zahlreiche Arbeiten über diese Verbindungsklasse wurden in den letzten Jahren publiziert.¹⁾ Diorganogermylene sind sehr instabil und konnten mit wenigen Ausnahmen nicht isoliert werden.²⁾ Wir haben durch Umsetzung von Diiodogermylen bzw. Triphenylphosphindiiodogermylen mit Organolithium-Verbindung untersucht, ob Diorganogermylen als Zwischenprodukt entsteht und eventuell durch das phosphankoordination stabilisiert werden kann:

$$:GeI_2 + RLi \longrightarrow [:GeR_2],$$

 $LGeI_2 + RLi \longrightarrow [LGeR_2] (L=PPh_3).$

Durch röntgenographische Aufklärung der Struktur von Triphenylphosphindiiodogermylen sollte es untersucht werden, wie Triphenylphosphan an Diiodogermylen koordiniert ist. Sie sollte außerdem Anhaltspunkte für die Reaktivität dieser Verbindung geben.

Ergebnisse und Diskussion

Diiodogermylen, GeI₂, reagiert mit Phenyllithium in Ether zu Tetraphenylgerman, Ph₄Ge, Triphenylgerman, Ph₃GeH, und polymeren Produkten³:

$$: GeI_2 + PhLi \xrightarrow{1) Ether} Ph_4Ge, Ph_3GeH, Polymer.$$
 (1)

Die Umsetzung von Triphenylphosphindiiodogermylen, Ph₃PGeI₂, mit Phenyllithium in Ether nach anschlieβender Hydrolyse ergibt Ph₄Ge, Ph₃GeH und Polymer:

$$Ph_3PGeI_2 + PhLi \xrightarrow{1) Ether} Ph_4Ge, Ph_3GeH, Polymer. (2)$$

In Tabelle 1 sind die Einzelheiten der durchgeführten Reaktionen zusammengestellt. Phenyllithium wurde bezogen auf zu GeI2 bzw. Ph3PGeI2 in den Stöchiometrien 1:1, 2:1 und 4:1 verwendet. Je größer das Molarverhältnis von Phenyllithium zu GeI2 ist, desto höher sind die Ausbeuten an Ph₄Ge. Ph₃GeH entsteht durch Hydrolyse von Triphenylgermyllithium, das als Zwiechenprodukt der dritten Stufe über PhGeI und Ph2Ge aus GeI2 und Phenyllithium gebildet wird.3) Andere germaniumhaltige Produkte zersetzen sich wahrscheinlich zu den aufgefundenen Polymeren. Die Ausbeute an Ph4Ge bei der Reaktion von Ph₃PGeI₂ mit Phenyllithium ist vom zugegebenen Phenyllithium abhängig. Auch freies Triphenylphosphan fiel in größeren Mengen an. Bei 1:1 und 1:2 in den beiden Reaktionen erschien kein Unterschied der Ausdeuten. Nur bei 1:4 trat ein Unterschied auf. Die hohe Ausbeute von 39% an Ph₃GeH

Tabelle 1. Reaktionen von GeI2 oder Ph3PGeI2 mit Phenyllithium

Verbindung ^{a)}	D-1:		Produ	Produkte/% ^{b)}		
GeI ₂ : PhLi	Bedingungen	PhI	Ph-Ph	Ph ₃ GeH	Ph ₄ Ge	
1 : 1	5 d, Ether	4.9	3.8	1.9	1.6	
1 : 2	5 d, Ether	7.3	13	0.6	11	
1 : 4	5 d, Ether	40	62	0.7	32	

Verbindung ^{a)}	Dod:	D. J.		Produkte/% ^{b)}		
Ph ₃ PGeI ₂ : PhLi	Bedingungen	PhI	Ph-Ph	Ph ₃ GeH	Ph ₄ Ge	Ph ₃ P
1 : 1	5 d, Ether	2.9	2.9	1.9	14	82
1 : 2	5 d, Ether	7.7	9.6	1.3	19	7 9
1 : 4	5 d, Ether	10	13	39	36	100

a) Molarverhältnisse. b) Gerechnet aus der Konzentration von GeI₂ bzw. Ph₃PGeI₂.

in der Reaktion von Ph₃PGeI₂ mit PhLi bedeutet, daß Ph₃GeLi in größeren Mengen entsteht, das mit PhI zu Ph₄Ge nicht umsetzt wird. Daher könnte Ph₃GeLi oder GeR₂ bei Triphenylphosphan in dieser Reaktion stabilisiert werden.

Umsetzungen von GeI₂ mit Butadienen in Heptan sollte eigentlich die entsprechenden Addukte ergeben:⁴⁾

$$: GeI_{2} + H_{2}C=C-C=CH_{2} \xrightarrow{100 \, ^{\circ}C} \text{ keine Produkte} \cdots I.$$

$$R R$$

$$R R$$

$$Ge \qquad (R=CH_{3})$$

$$I \qquad I$$

$$I$$

$$I$$

$$I$$

$$I$$

In dieser Untersuchung gelang nur 3II, das Addukt 1,1-diiodo-3,4-dimethylgermacyclopent-3-en 1 zu ergeben. Dieser Unterschied der Addition hängt vielleicht von der Donatoreigenschaft der Doppelbindung von Butadien gegen Germanium ab. Im Fall 3I wird die Doppelbindung wegen Wasserstoff bzw. Phenylgruppe nicht genug aktiviert, um an Germanium zu addieren. Nur die Methylgruppe bei 3II gelang, die Elektronendichte an der Doppelbindung für Addition zu aktivieren. Umsetzungen von Ph₃PGeI₂ mit Butadienen unter denselben Bedingungen wie für GeI₂ ergeben keine Addukte:

Bei GeI₂ ist die Donatorfunktion der Doppelbindung zu leerem Orbital an Germanium möglich. Im Gegensatz dazu, kann die Doppelbindung bei Ph₃PGeI₂ wegen der Besetzung desselben Orbitals an Germanium durch Koordination von Triphenylphosphan keine Donatorfunktion ausüben.

Die Umsetzungen von GeI₂ mit Phenyllithium in Gegenwart von Butadienen ergeben Ph₄Ge und erst bei 5II ein zweites Produkt, das von der Phenylgruppe substituierte Addukt 3,4-Dimethyl-1,1-diphenylgermacyclopent-3-en 2:

Ph₄Ge entsteht in dieser Reaktion aus der direkten Umsetzung von GeI₂ mit Phenyllithium wie Gl. 1.

2 entsteht aus der Reaktion von Phenyllithium und 1, das nach 311 aus GeI₂ und Butadien ergeben wird.

Die Reaktionen von Ph₃PGeI₂ mit Phenyllithium und Butadienen wurden auch für Vergleich mit Gl. 5 durchgeführt:

$$\begin{array}{c|c} Ph_{3}PGeI_{2} + H_{2}C=C-C=CH_{2} + PhLi \\ & \mid \quad \mid \quad \mid \\ & R R \\ \hline & \xrightarrow{-70 \, ^{\circ}C-RT} & Polymer & \cdots & I. \\ & & (R=H) \\ \hline & & Ph_{4}Ge, & Ge & \cdots & II. \\ & & Ph & Ph \\ & & 2 & (R=CH_{3}) \\ & & Ph_{4}Ge & \cdots & \cdots & III. \\ & & & (R=C_{6}H_{5}) \end{array}$$

Die Polymerisation bei 61 kommt aus Butadien mit Phenyllithium, weil es kein Produkt aus Ph₃PGeI₂ mit Butadien ergibt (s. 3II) und weil Ph4Ge aus Ph3PGeI2 mit Phenyllithium entstehen soll (s. Gl. 2). Bei 611 ergab es zwei Produkte, Ph4Ge und Addukt 2. Ph4Ge entsteht aus der direkten Reaktion von Ph3PGeI2 mit Phenyllithium. Aber die Bildung von 2 erregte uns eine große Interesse. Die Umsetzung von Ph₃PGeI₂ mit Butadien (Gl. 4) ergibt Produkt 1 nicht, das sich mit Phenyllithium zu der Verbindung 2 überführen läβt. Mit anderen Worten entsteht die Verbindung 2 nicht über 1. Ein möglicher Weg zu 2 in der Reaktion 611 ist die Umsetzung von Butadien mit Ph₂Ge, das letzte Germylen, das als Zwischenprodukt in der Reaktion von Ph₃PGeI₂ mit Phenyllithium entstehen soll. Die Bildung von 2 bei 611 ist ein Beweis für das Auftreten von Diphenylgermylen Ph₂Ge. Bei 6III wird nur Ph4Ge wie bei 5I gegeben und das Butadien hat keinen Einfluß auf die Umsetzung von Ph3PGeI2 mit Phenyllithium.

Röntgenkristallstrukturanalyse von Ph₃PGeI₂. Die Kristallstruktur von Ph3PGeI2 wurde röntgenographisch untersucht. Ph₃PGeI₂ kristallisiert aus Xylol in monoklinen Würfeln in der Raumgruppe $P2_1/n$, Z=8, a=11.858 (3), b=38.569 (8), c=9.304 (2) Å, β =111.217 (4)°, R=10.0 (Abb. 1, Tabelle. 2). Zwei verschiedene Strukturen von Ph₃PGeI₂ wurden gegeben. Jeder Bindungswinkel (P-Ge-I, I-G-I) von 90—99° an dem Germaniumatom ist kleiner als der von 109° in allgemeinem sp3-Orbital. Die zwei Elektronen des Germaniums lokalisieren sich als ein Elektronenpaar an dem Germaniumatom in gegenseitigem Lappen von den zwei Iodatome und dem Phosphoratom. Triphenylphosphan ist an dem Germaniumatom einfach koordiniert und darum erscheint keine Rückbindung aus Germaniumatom zu Phosphoratom. Aus dieser Lokalisierung der Elektronen an Germaniumatom und dem Abstand von 2.503 bzw. 2.510 Å zwischen

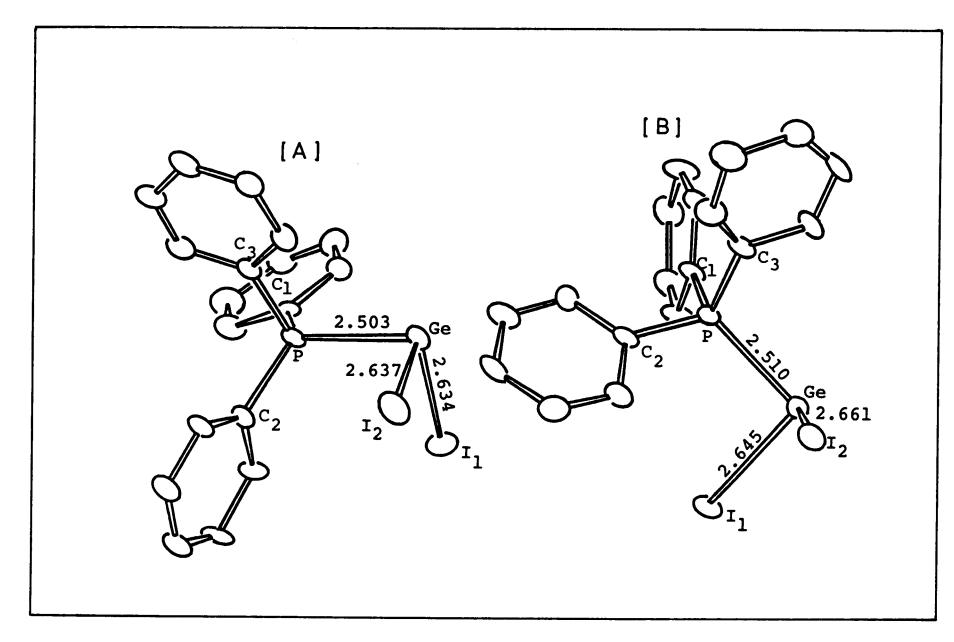


Abb. 1. Kristallstruktur von Ph3PGeI2.

TABELLE 2. ABSTÄNDE/Å UND WINKEL/° IN Ph₃PGeI₂

	·	•
	[A]	[B]
Ge-I ₁	2.634(2)	2.645(2)
$Ge-I_2$	2.637(3)	2.661(3)
Ge-P	2.503(4)	2.510(5)
$P-C_1$	1.811(19)	1.813(19)
$P-C_2$	1.813(17)	1.777(17)
$P-C_3$	1.824(19)	1.813(15)
I_1 -Ge- I_2	99.0(1)	99.0(1)
I_1 -Ge-P	90.4(1)	94.5(1)
I_2 -Ge-P	93.0(1)	93.8(1)
$Ge-P-C_1$	108.8(6)	108.2(6)
$Ge-P-C_2$	118.7(6)	120.6(6)
$Ge-P-C_3$	108.6(6)	112.0(6)
C_1 -P- C_2	109.4(8)	104.8(8)
C_2 -P- C_3	105.5(8)	105.5(8)
C_1 -P- C_3	104.9(8)	104.5(8)

dem Germaniumatom und Phosphoratom ist es deutlich, daß die Phosphor-Germanium Bindung keinen Doppelbindungscharakter hat.

Experimenteller Teil

Alle Arbeiten wurden zum Ausschluß von Sauerstoff und Feuchtigkeit unter Stickstoff durchgeführt. Lösungsmittel und Glasgeräte waren entsprechend vorbehandelt. GeI₂ wurde aus GeO₂ und HI nach dem Verfahren in Lef. 6 hergestellt. Ph₃PGeI₂ wurde aus GeI₂ mit Triphenylphosphan nach der Methode von King⁷⁾ dargestellt. NMR Spektren wurden mit einem Varian FT-80 und einem Jeol FX-90Q aufgenommen.

Spektroskopische Daten von Ph₃PGeI₂. ¹³C NMR (CDCl₃) δ =126.12 (d, ¹J (PC)=40.9 Hz, C-1), 133.47 (d, ²J (PC)=8.8 Hz, C-2,6), 129.34 (d, ³J (PC)=10.3 Hz, C-3,5) und

132.17 (s, C-4); ³¹P NMR (CDCl₃) δ =10.89 (br).

Reaktionen von Gel₂ mit Phenyllithium (Gl. 1). Zu einer Suspension von 0.40 g (1.23 mmol) Gel₂ in 5 cm³ Ether wurde bei Raumtemperatur 2.8 cm³ (1.23 mmol) Phenyllithium (0.44 M[†] Lösung in Ether) langsam zugetropft. Nach einem Rühren im Lauf von 5 Tagen beim Erwärmen unter Rückfluβ wurde die Reaktionlösung hydrolysiert. Die Produkte wurden mit GLC untersucht. Zwei- und vierfach Phenyllithium wurden auch mit Gel₂ umgesetzt. Die Ausbeuten der Produkte sind in Tabelle 1 aufgenommen.

Reaktionen von Ph₃PGel₂ mit Phenyllithium (Gl. 2).

Zu einer Suspension von 1.16 g (1.97 mmol) Ph₃PGel₂ in 5 cm³ Ether wurde 1.97 mmol Phenyllithium bei RT zugetropft (zwei- und vierfach Phenyllithium wurden auch verwendet). Nach einem fünf tägigen Rühren beim Erwärmen unter Rückfluβ wurde die Lösung hydrolysiert und getrocknet. Die erzeugte Verbindungen wurden mit GLC untersucht. Die Daten der Ausbeuten sind in Tabelle 1 dargestellt.

Reaktionen von GeI₂ mit Butadienen (Gl. 3). 3I: Die Umsetzung von 3.0 g (9.2 mmol) GeI₂ mit 1.0 g (18.5 mmol) 1,3-Butadien bzw. 18.5 mmol 2,3-Diphenyl-1,3-butadien in 5 cm³ Heptan nach dreitägigem Erwärmen bei 100 °C in einer Druckflasche ergab kein Produkt.^{4,8})

311: Die Umsetzung von 2.0 g (6.13 mmol) mit 0.51 g (6.21 mmol) 2,3-Dimethyl-1,3-butadien in 5 cm³ Heptan bei 110 °C ergab nach 1 Tag 0.2 g (0.49 mmol) 1,1-Diiodo-3,4-dimethylgermacyclopent-3-en 1. Ausbeute 8%.

Reaktionen von Ph₃PGeI₂ mit Butadienen (Gl. 4). Die Reaktionen von Ph₃PGeI₂ mit den Butadienen in Heptan unter den in Gl. 3 bezeichnet Bedingungen ergaben keine Produkte.

Reaktionen von Gel₂ mit Phenyllithium und Butadienen (Gl. 5). 5II: Zu einer Suspension von 2.0 g (6.13 mmol) Gel₂ und 0.51 g (6.21 mmol) 2,3-Dimethyl-1,3-butadien in 10 cm³ Ether wurde bei -70 °C 25 cm³ (12.3 mmol) Phenyllithium (0.49 M Lösung in Ether) zugetropft. Nach 1 Stunde wurde die Reaktionlösung bis Zimmertem-

^{†1} M=1 mol dm-3

peratur langsam erwärmt, wobei sie sich von gelb zu braun änderte. Die Lösung wurde nach dem Rühren im Lauf von 2 Tagen bei RT hydrolysiert und mit Na₂SO₄ getrocknet. Das Produkt wurde mit GLC isoliert. 3,4-Dimethyl-1,1-diphenylgermacyclopent-3-en **2** ist ein farbloser Kristall mit einem Schmelzpunkt von 46—49 °C (Lit,^{4,9)} 40—41 °C). Ausbeute 19%. Spektroskopische Daten von **2**: 1 H NMR (CDCl₃) δ =1.78 (s, CH₃), 2.00 (s, CH₂) und 7.37 (m, C₆H₅). Ph₄Ge wurde mit einer Ausbeute von 3% ergeben.

51: Umsetzung von 2.0 g (6.13 mmol) GeI₂ und 1.0 g (18.5 mmol) 1,3-Butadien mit 12.3 mmol Phenyllithium in Ether bei -70 °C ergab Ph₄Ge 5%. Reaktion von 0.65 g (1.99 mmol) GeI₂ und 0.41 g (1.99 mmol) 2,3-Diphenyl-1,3-butadien mit 4 mmol Phenyllithium ergab Ph₄Ge 6%.

Reaktionen von Ph₃PGeI₂ mit Phenyllithium und Butadienen (Gl. 6). 6I: Die Reaktion von 2.6 g (4.42 mmol) Ph₃PGeI₂ und 1.0 g (18.5 mmol) 1,3-Butadien mit 8.87 mmol Phenyllithium in Ether bei -70 °C polymerisierte nach Erwärmen bis 0 °C.

611: Zu einer Suspension von 0.85 g (1.45 mmol) Ph₃PGeI₂ und 0.12 g (1.46 mmol) 2,3-Dimethyl-1,3-butadien in 5 cm³ Ether wurde bei -70 °C 6.5 cm³ (2.95 mmol) Phenyllithium (0.45 M Lösung in Ether) zugetropft. Nach 1 Stunde wurde die Lösung bis RT erwärmt. Nach Hydrolyse und Vertrocken wurden die Produkte mit GLC untersucht. Es ergab 3,4-Dimethyl-1,1-diphenylgermacyclopent-3-en 2 14% und Ph₄Ge 5%.

6III: Die Umsetzung von 0.75 g (0.93 mmol) Ph₃PGeI₂ und 0.19 g (0.92 mmol) 2,3-Diphenyl-1,3-butadien mit 18.5 mmol Phenyllithium in Ether bei -70 °C ergab Ph₄Ge 5%.

Röntgenstrukturanalyse von Ph₃PGeI₂. Einkristall mit der Größe von ca. 0.2×0.3×0.3 mm wurde aus einer langsamen Kühlung von warmem Xylol dargestellt. Der gelbe Kristall wurde in der abgeschmolzenen Kapillare unter

Stickctoff röntgenographisch aufgenommen.

Wir danken dem Kultusministerium für finanzielle Unterstützung für naturwissenschaftliche Forschung (Nr. 58740286).

Literatur

- 1) K. H. Scherping und W. P. Neuman, Organometallics, 1, 1017 (1982); A. Bacceiredo, G. Bertrand, und P. Mazerolles, Tetrahedron Lett., 22, 2553 (1981); G. Dousse und J. Sátge, Helv. Chim. Acta, 60, 1381 (1977); J. Sátge, M. Massol, und P. Riviere, J. Organomet. Chem., 56, 1 (1973).
- 2) D. H. Harris und M. F. Lappert, J. Chem. Soc., Chem. Commun., 1975, 895 D. E. Goldberg, D. H. Harris, und M. F. Lappert, ibid., 1976, 261 P. J. Davidson, D. H. Harris, und M. F. Lappert, J. Chem. Soc., Dalton Trans., 1976, 2268.
- 3) F. Glockling und K. A. Hooton, J. Chem. Soc., 1973, 1849.
- 4) P. Mazerolles, G. Manuel, und F. Thoumas, C. R. Acad. Sci. Paris, Ser. C, 267, 619 (1968); P. Mazerolles und G. Manuel, Bull. Soc. Chim. Fr., 327 (1966); G. Manuel und P. Mazerolles, ibid., 2447 (1965).
- 5) N. G. Bokii, Y. T. Struchkov, S. P. Kolesnikov, I. S. Rogozhin, und O. M. Nefedov, *Izv. Akad. Nauk SSSR*, *Ser Khim*, 1975, 812.
- 6) L. S. Foster und A. F. Williston, *Inorg. Synth.*, 2, 112 (1946); L. S. Foster, *ibid.*, 3, 63 (1950).
 - 7) R. B. King, Inorg. Chem., 2, 199 (1963).
- 8) P. Mazerolles, G. Manuel und F. Thoumas, C. R. Acad. Sci. Paris, 1968, 619.
- 9) G. Manuel, P. Mazerolles, M. Lesbre, und J. P. Pradel, J. Organomet. Chem., 61, 147 (1973); P. Mazerolles und G. Manuel, Bull. Soc. Chim. Fr., 1966, 327.